

12. Кириллин В. А., Сычев В. В., Шейндлин А. Н. Техническая термодинамика. М.: Энергия, 1966, с. 472.
13. Кинан Дж. Термодинамика. М.-Л.: Госэнергоиздат, 1963.
14. Малкин И. Г. Теория устойчивости движения. М.-Л.: ГИТТЛ, 1952.
15. Четаев Н. Г. Устойчивость движения. М.: Наука, 1965.

УДК 532.526

А. Н. Печенкин, Б. Д. Фишбейн

## РАСЧЕТ ТРЕХМЕРНОГО ТЕЧЕНИЯ ИДЕАЛЬНОГО ГАЗА В КАНАЛЕ МЕТОДОМ КОНЕЧНЫХ ЭЛЕМЕНТОВ

Метод конечных элементов (МКЭ) получает в инженерной практике все большее распространение для решения задач механики жидкости [1] благодаря простоте аппроксимации сложных геометрических поверхностей и большой гибкости алгоритмов и программ на основе этого метода. В связи с этим представляет интерес сопоставление результатов расчета трехмерного течения в каналах с помощью МКЭ и результатов, полученных ранее другими методами, обеспечивающими высокую точность, но применение которых для конкретных разнообразных геометрических сложных устройств затруднено.

Трехмерное безвихревое поле течения при расчете МКЭ [2] определяется через потенциальную функцию скорости  $\varphi$  с вектором скорости  $\vec{W}$  выражением  $\vec{W} = \nabla\varphi$ .

Уравнение неразрывности для установившегося течения имеет вид:

$$\nabla(\rho\nabla\varphi) = 0, \quad (1)$$

где  $\rho = \rho_0(1 - ((k-1)/(k+1))(\nabla\varphi/a)^2)^{1/(k-1)}$  — плотность сжимаемой среды, выраженная через плотность заторможенного потока  $\rho_0$  и критическую скорость  $a$  для газа с постоянным показателем изоэнтропы  $k$  согласно [3].

Метод конечных элементов включает дискретизацию области решения, интегральную постановку задачи и локальную аппроксимацию функции в каждом элементе [4—6]. Неизвестное решение для потенциала скорости  $\varphi$  в каждом элементе аппроксимируется выражением

$$\varphi^e = [N] \cdot \{\varphi\}^e, \quad (2)$$

где  $\{\varphi\}^e$  — вектор-столбец значений потенциальной функции  $\varphi_i$  в узлах элемента  $e$ ;  $[N]$  — вектор-строка интерполяционных функций формы  $N_i$ .

Согласно методу Галеркина, требуется в пределах рассматриваемой области  $D$  свести к нулю взвешенное среднее значение погрешности, возникающей при подстановке (2) в (1). Заметив,

что весовые функции имеют ту же форму, что и интерполяционные функции  $N_i$ , после указанной подстановки имеем:

$$\int_D N_i \cdot \nabla \cdot (\rho \nabla \varphi) dV = 0. \quad (3)$$

Применение теоремы Грина к уравнению (3) позволяет получить соотношение, включающее граничные условия:

$$\int_D \nabla N_i (\rho \nabla \varphi) dV = \int_{\partial D} N_i \rho \nabla \varphi dS, \quad (4)$$

причем, правая часть есть взвешенное среднее значение массового расхода через границу  $\partial D$ . Следовательно, необходимо задать значения плотности массы  $\rho (\partial \varphi / \partial n)$  на всех границах области решения. Для расхода газа  $G$  через канал граничные условия  $f = \rho (\partial \varphi / \partial n)$  выражаются следующим образом:

$$f = \begin{cases} 0 & \text{на твердых границах;} \\ f_1 = G/S_1 & \text{на входе с площадью сечения } S_1; \\ f_2 = G/S_2 & \text{на выходе с площадью сечения } S_2. \end{cases}$$

Уравнение (4) справедливо для всей области решения и для произвольного конечного элемента  $e$ . Тогда, подставив (2) в (4), получим для конечного элемента:

$$\int_D \nabla N_i (\rho \nabla [N] \{\varphi\}^e) dV = \int_{\partial D} N_i \rho \frac{\partial \varphi}{\partial n} dS, \quad (5)$$

причем поверхностный интеграл в правой части необходимо вычислять только в случае, когда  $dS$  лежит на границе области.

Примем, что конечные элементы — тетраэдры с плоскими гранями и четырьмя узловыми точками. Тогда выражение (2) примет вид

$$\varphi^e = \sum N_i \cdot \varphi_j, \quad i, j = \overline{1, 4}.$$

Уравнение (5) для произвольного конечного элемента в этом случае запишется

$$\begin{aligned} \int_{D_e} \rho \left[ \frac{\partial N_i}{\partial x} \cdot \frac{\partial N_j}{\partial x} + \frac{\partial N_i}{\partial y} \cdot \frac{\partial N_j}{\partial y} + \frac{\partial N_i}{\partial z} \cdot \frac{\partial N_j}{\partial z} \right] \varphi_i dV = \\ = \int_{D_e} N_i \rho \frac{\partial \varphi}{\partial n} dS, \quad i, j = \overline{1, 4}. \end{aligned} \quad (6)$$

Совокупность уравнений (6) для всех элементов в области течения образует систему алгебраических уравнений

$$[K] \cdot \{\varphi\} = \{F\}, \quad (7)$$

где  $[K]$  — матрица жесткости, составленная из коэффициентов;  $\{\varphi\}$  — вектор-столбец неизвестных потенциальных функций;  $\{F\}$  — вектор нагрузки, зависящий от заданных граничных условий.

Метод конечных элементов был применен в разработанной программе для расчета течения в канале, образованном поверхностями тока при обтекании сферы и двумя пересекающимися плоскостями, проходящими через ось симметрии. Как известно [7], для такого канала в сферических координатах  $(R, \Theta, \alpha)$  существует аналитическое решение для линии тока

$$\psi = \frac{1}{2} W_{\infty} R^2 [1 - (d/R)^3] \sin^2 \Theta,$$

потенциала

$$\varphi = W_{\infty} R \left[ 1 + \frac{1}{2} (d/R)^3 \right] \cos \Theta \quad (8)$$

и составляющих скорости

$$W_R = W_{\infty} [1 - (d/R)^3] \cos \Theta;$$

$$W_{\Theta} = -W_{\infty} \left[ 1 + \frac{1}{2} (d/R)^3 \right] \sin \Theta,$$

где  $d$  — диаметр сферы;  $W_{\infty}$  — скорость невозмущенного потока.

Известное аналитическое решение и решение, полученное с применением МКЭ, сравнивались по составляющим скорости в декартовых координатах  $(x, y, z)$ :

$$W_x = (W_R \cos \Theta - W_{\Theta} \sin \Theta) \cos \alpha;$$

$$W_y = (W_R \cos \Theta - W_{\Theta} \sin \Theta) \sin \alpha;$$

$$W_z = W_R \sin \Theta + W_{\Theta} \cos \Theta,$$

где  $R = \sqrt{x^2 + y^2 + z^2}$ ;  $\alpha = \arctg(y/x)$ ;

$$\Theta = \arctg(\sqrt{x^2 + y^2}/z).$$

Канал, разбитый на кубические элементы, каждый из которых образован пятью тетраэдрами, имел следующие параметры:  $d=1,0$ ;  $W_{\infty}=1,0$ ;  $\psi_1=0,1$ ;  $\psi_2=0,2$ ;  $\alpha_1=\pi/4$ ;  $\alpha_2=\pi/4+0,05$ ;  $z_1=0$ ;  $z_2=4,0$  (рис. 1).

Область решения включала 3355 тетраэдральных элементов и 1488 узловых точек. Для этой области было получено решение системы линейных уравнений (7) относительно потенциала скорости, которое отличалось от значений потенциала по соотношению (8) не более, чем на 0,1%. Составляющие скорости рассчитывались с помощью теории сопряженной аппроксимации [4], позволяющей получать производные функции в узлах элементов. Результаты расчета и аналитические решения для составляющих скоростей, отнесенных к  $W_{\infty}$ , представлены на рис. 2.

Метод конечных элементов был применен для расчета течения в сужающемся сопле с учетом сжимаемости. Для проведе-

ния расчетов и сопоставления результатов было взято сопло [8], спроектированное таким образом, чтобы обеспечить заданное распределение скорости вдоль оси  $x$ :

$$W = W_\infty + (1 - W_\infty)/(1 + Ax^2); \quad W_\infty = 0,1; \quad A = 10$$

при прямолинейной звуковой линии на выходе  $W=1,0$ . Сжимаемость учитывалась в итерациях с переменной плотностью при решении системы линейных уравнений

$$[K(\rho_{\text{вх}})] \{ \varphi_{n+1} \} = [K(\rho_{\text{вх}}) - K(\rho_n)] \{ \varphi_n \} + \{ F \}, \quad (9)$$

причем для начального приближения ( $n=0$ ) принималась постоянная плотность

$$\rho_{\text{вх}} = \rho_0 [1 - ((k-1)/(k+1)) (W_{\text{вх}}/a)^2]^{1/(k-1)},$$

где  $W_{\text{вх}}$  — скорость на входе.

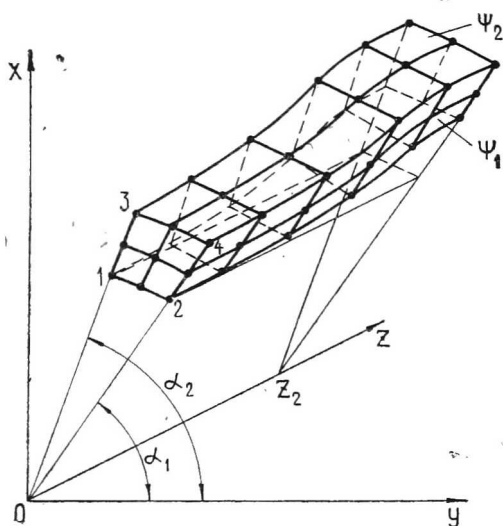


Рис. 1. Схема дискретизации криволинейного канала

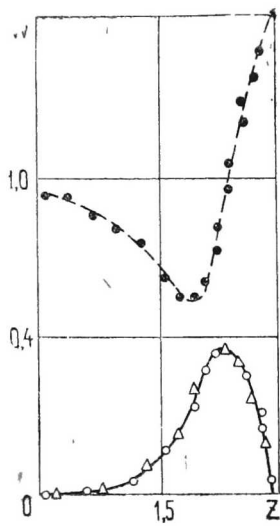


Рис. 2. Распределение составляющих скорости, отнесенной к  $W_\infty$  в криволинейном канале: расчет методами работы [7]:  $-W_y=W_x$ ,  $---W_z$ ; расчет МКЭ:  $\triangle-W_x$ ;  $\circ-W_y$ ;  $\bullet-W_z$

Приведенная схема итераций удобна тем, что матрица преобразовывалась лишь один раз и в приближениях применялась прямая и обратная прогонка правой части уравнения (9). Для ускорения сходимости и сокращения числа итераций при слабом изменении произведения  $\rho W$  использовался метод искусственной вязкости [9], согласно которому плотность в данном приближении определяется в виде

$$\rho_{n+1} = \rho_n - \mu \cdot \Delta S \cdot \rho_n,$$

где  $\mu = \max [0, 1 - M_{от}^2 / M^2]$  — коэффициент искусственной вязкости;  $M_{от}$  — число Маха отсечки (принято  $M_{от} = 0,8$ );  $M$  — число Маха в данном элементе;  $\Delta S$  — размер элемента в направлении потока.

На рис. 3 представлены результаты расчета приведенных скоростей  $W$  в сопоставлении с данными [8]. Небольшие отличия объясняются погрешностями в задании геометрии сопла для расчета по МКЭ с числом узлов 1454.

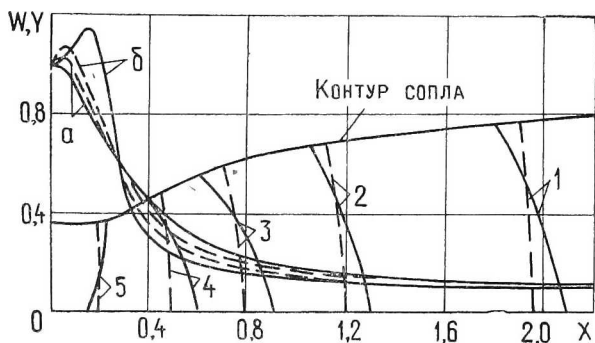


Рис. 3. Распределение приведенных скоростей в сужающемся сопле:

————— — данные работы [8]; — — — — — данные, полученные МКЭ; 1 —  $W = 0,12$ ; 2 —  $W = 0,15$ ; 3 —  $W = 0,2$ ; 4 —  $W = 0,5$ ; 5 —  $W = 0,8$ ; а — распределение скорости на оси; б — распределение скорости на стенке

Таким образом, проведенное сопоставительное исследование показало, что разработанная для ЭВМ ЭС-1033 программа пригодна для расчета трехмерных сжимаемых течений идеального газа в каналах сложной формы, например, в межлепестковом пространстве смесителей и в смесительных камерах ТРДД. Получаемое решение по распределению статического давления и скоростей может служить хорошим начальным приближением для проведения расчетов с учетом вязкости.

## Литература

1. Norrie D. H., Vries G. de. A Survey of the Finite Element Applications in Fluid Mechanics.— Finite Element Fluids, 1978, Vol. 3, pp. 363—394.
2. Хамед А., Баскароне Е. Анализ трехмерного течения в улитке турбины.— Теоретические основы инженерных расчетов /Тр. ASME, 1980, сер. Д, т. 102, № 3.
3. Абрамович Г. Н. Прикладная газовая динамика. М.: Наука, 1976.
4. Сегерлинд С. Применение метода конечных элементов. М.: Мир, 1979.

5. Норри Д., Фриз Ж. де. Введение в метод конечных элементов. М.: Мир, 1981.
6. Коннор Д., Бреббия К. Метод конечных элементов в механике жидкости. Л.: Судостроение, 1979.
7. Лойцянский А. Г. Механика жидкости и газа. М.: Наука, 1970.
8. Пирумов У. Г. Расчет течения в сопле Лавала /ДАН СССР, 1967, Т. 126, № 2, с. 287—290.
9. Экер А., Экей Х. Расчет трансзвукового обтекания решетки профилей с помощью метода конечных элементов.—Ракетная техника и космонавтика, 1981, Т. 19, № 10, с. 82—103.

УДК 532.517.4

*В. Н. Лавров*

## СОТНОШЕНИЯ ДЛЯ РАСЧЕТА ПАРАМЕТРОВ ТУРБУЛЕНТНОЙ СТРУИ ГАЗА, РАСПРОСТРАНЯЮЩЕЙСЯ В СПУТНОМ ПОТОКЕ

Условные обозначения

$m = u_2/u_1$  — отношение скоростей спутного потока и струи;

$n = \rho_2/\rho_1$  — отношение плотностей спутного потока и струи;

$C$  — весовая концентрация газа струи;

$\overline{\Delta u} = (u - u_2)/(u_1 - u_2)$  — безразмерная избыточная скорость;

$\overline{\Delta T} = (T - T_2)/(T_1 - T_2)$  — безразмерная избыточная температура;

$R$  — радиус сопла;

$\overline{x} = x/R$  — безразмерное расстояние от выходного сечения струи вдоль оси;

$\overline{\delta^*} = \delta^*/R$ ;  $\overline{\delta^{**}} = \delta^{**}/R$  — относительные толщины вытеснения и потери импульса в выходном сечении;

$\overline{c_p} = c_{p2}/c_{p1}$  — отношение теплоемкостей;

$\overline{\mu} = \mu_2/\mu_1$  — отношение молекулярных весов;

$\overline{\rho u^2} = \rho u^2/\rho_1 u_1^2$ ;

$\overline{b} = b/R$  — относительная полуширина струи.

Индексы

1 — струя;

2 — спутный поток;

0 — на оси.

Исследование газодинамических процессов в различных устройствах связано с определением параметров струи, втекающей в затопленное пространство или спутный поток. Широко известны полуэмпирические зависимости [1—3], позволяющие рассчитать все параметры струи. Однако удовлетворительное описание течения достигается, если оно достаточно близко к автомоделному, например для затопленных струй. При распространении струи в спутном потоке газа другой плотности на основном участке наблюдается существенное отличие измеряемых параметров от расчетных,